

## Podtorze jako regulator w układzie pojazd szynowy-tor

*W artykule przeprowadzono badania modelu układu pojazd-tor, przyjmując, że między wektorem wyjścia, którego składowe stanowią siły działające w elementach zawieszenia pojazdu, a wektorem wejścia, którego składowe stanowią przemieszczenia wynikające z nierówności toru, występuje sprzężenie zwrotne. Zatem w modelu oddziaływań między pojazdem a torem wprowadzono układ typu regulator.*

### 1. Wprowadzenie

Pojazd szynowy jest złożonym, dyskretno-ciągłym układem dynamicznym, który podlega podczas ruchu wielowymiarowym stanom obciążenia. Jego stany pracy wynikają w znacznym zakresie z oddziaływań toru.

Tor jest złożonym, dyskretno-ciągłym układem dynamicznym, który jest poddany wielowymiarowym stanom obciążenia. Jego stany pracy zależą w decydującym stopniu od oddziaływań pojazdu.

Fizyczne i matematyczne modele dynamiki pojazdu szynowego oraz toru prezentowano i analizowano w wielu pracach [2,4]. Podstawowe typy modeli toru to modele dyskretno jedno- i wielowarstwowe oraz modele ciągłe jedno- i wielowarstwowe. Na podstawie przeprowadzonych eksperymentów opracowano w dziedzinie częstotliwości modele analityczne charakteryzujące pracę toru [2].

W cytowanych opracowaniach przyjęto klasyczną metodę analizy układu badając zależności między wektorem wielkości wejściowych – wymuszeń od toru, a wektorem wielkości wyjściowych – odpowiedzi układu na kierunkach stopni swobody reprezentujących dynamikę pojazdu.

W artykule przyjęto metodę badania modelu układu pojazd-tor przyjmując, że między wektorem wyjścia, którego składowe stanowią siły działające w elementach zawieszenia pojazdu, a wektorem wejścia, którego składowe stanowią przemieszczenia wynikające z nierówności toru oraz podatności podtorza, występuje sprzężenie zwrotne. Zatem w modelu oddziaływań między pojazdem a torem wprowadzono układ typu regulator.

Celem artykułu jest wyznaczenie charakterystyk sztywnościowych i tłumieniowych modelu podtorza, przy założeniu, że w układzie występuje sprzężenie zwrotne.

### 2. Wyznaczanie parametrów modelu podtorza dla zadanych charakterystyk własnych modelu układu

Analizę modelu układu przeprowadzono w zakresie częstotliwości 0÷30 Hz. Przyjęto, że uwzględnienie modelu podtorza wpływa w niewielkim stopniu na charakterystyki własne modelu pojazdu.

Do opisu dynamiki układu wykorzystano formalizm transmitancji operatorowej oraz metodę przestrzeni stanu.

Do wyznaczenia parametrów regulatora zastosowano metodę optymalizacji z kwadratowym wskaźnikiem jakości [1,3].

Równania ruchu dyskretnego, liniowego, stacjonarnego modelu układu o  $n$  stopniach swobody przedstawiono w postaci:

$$\mathbf{M}\ddot{\mathbf{q}} + \mathbf{C}\dot{\mathbf{q}} + \mathbf{K}\mathbf{q} = \mathbf{G}\mathbf{f} \quad (1)$$

a równanie wyjść jako:

$$\mathbf{y} = \mathbf{Z}\mathbf{q} \quad (2)$$

gdzie:

$\mathbf{q}$ ,  $\dot{\mathbf{q}}$ ,  $\ddot{\mathbf{q}}$  – wektory przemieszczeń, prędkości i przyspieszeń uogólnionych,

$\mathbf{f}$  – wektor wymuszeń,

$\mathbf{y}$  – wektor wielkości wyjściowych,

$\mathbf{M}$ ,  $\mathbf{C}$ ,  $\mathbf{K}$  – macierze bezwładności, tłumienia i sztywności,

$\mathbf{G}$  – macierz wejść,

$\mathbf{Z}$  – macierz wyjść.

Po przeprowadzeniu transformacji Laplace'a równań (1) oraz (2) i przyjęciu zerowych warunków początkowych  $\dot{\mathbf{q}}(0) = \mathbf{q}(0) = \mathbf{0}$ , wyznaczono transmitancję operatorową modelu układu  $\mathbf{H}(s)$  jako:

$$\mathbf{H}(s) = \mathbf{Z}(\mathbf{K} + \mathbf{C}s + \mathbf{M}s^2)^{-1}\mathbf{G} \quad (3)$$

gdzie:  $s$  jest zmienną operatorową.

Dokonując podstawienia  $s = j\omega$ , gdzie  $\omega$  jest częstotliwością kołową, a  $j$  jest jednostką urojoną, do zależności (3) uzyskano macierz transmitancji widmowej  $H(j\omega)$ . Do oceny zjawisk zachodzących w układzie wykorzystano charakterystykę amplitudowo-częstotliwościową oraz fazowo-częstotliwościową [3].

W celu zastosowania w analizie metody przestrzeni stanu wprowadzono  $2n$ -wymiarowy wektor stanu  $\mathbf{x}$ , a równania (1) i (2) przedstawiono w postaci równania stanu:

$$\dot{\mathbf{x}} = \mathbf{A}\mathbf{x} + \mathbf{B}\mathbf{u} \quad (4)$$

gdzie macierz  $\mathbf{A}$  jest nazywana macierzą stanu, macierz  $\mathbf{B}$  – macierzą wejść, a  $\mathbf{u}$  – wektorem wejść.

#### 2.1. Wyznaczanie parametrów modelu podtorza dla zadanych charakterystyk własnych z wykorzystaniem transmitancji operatorowej

Do badań przyjęto model układu, jak opisano równaniem (1)

$$m\ddot{q}(t) + c\dot{q}(t) + kq(t) = c\dot{\xi}(t) + k\xi(t) \quad (5)$$

gdzie:

$m$  – masa nadwozia,

$c$  – stała tłumika w zawieszeniu nadwozia,

$k$  – stała sprężyny w zawieszeniu nadwozia,

$q$  – współrzędna uogólniona,

$\xi$  – funkcja charakteryzująca nierówność toru.

Przyjęto, że wejściem jest nierówność toru  $\xi(t)$ , a wektor wyjścia stanowią: siła w sprężynie zawieszenia  $F_S(t)$  oraz siła w tłumiku zawieszenia  $F_T(t)$ .

Po przeprowadzeniu transformacji Laplace'a równania (5) uzyskano:

$$ms^2q(s) + csq(s) + kq(s) = cs\xi(s) + k\xi(s) \quad (6)$$

Transmitancję operatorową między siłą w sprężynie zawieszona a nierównością toru zapisano jako:

$$H_{11}(s) = \frac{k[q(s) - \xi(s)]}{\xi(s)} \quad (7)$$

Transmitancję operatorową między siłą w tłumiku zawieszona a nierównością toru zapisano jako:

$$H_{21}(s) = \frac{cs[q(s) - \xi(s)]}{\xi(s)} \quad (8)$$

Po przeprowadzeniu odpowiednich przekształceń uzyskano transmitancję  $H_{11}(s)$  w postaci:

$$H_{11}(s) = \frac{-mks^2}{ms^2 + cs + k} \quad (9)$$

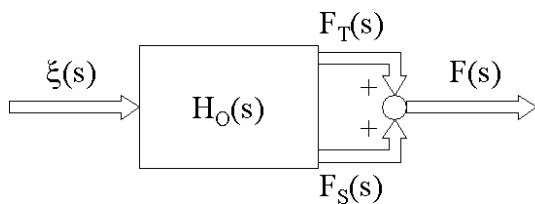
oraz transmitancję  $H_{21}(s)$  w postaci:

$$H_{21}(s) = \frac{-mcs^3}{ms^2 + cs + k} \quad (10)$$

Do badań przyjęto, że wyjściem jest siła  $F(t)$  jako suma sił  $F_S(t)$  i  $F_T(t)$ . Transmitancję zastępczą układu przyjęto zatem w postaci:

$$H_O(s) = \frac{-mcs^3 - mks^2}{ms^2 + cs + k} \quad (11)$$

co przedstawiono w zapisie operatorowym na rys. 1.

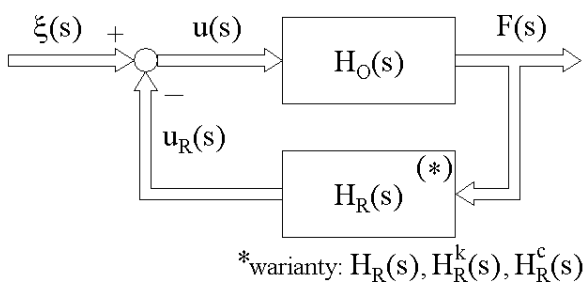


Rys. 1. Schemat struktury badanego układu

Przyjęto, że między wyjściem w postaci siły działającej w zawieszaniu, a wejściem w postaci przemieszczenia wynikającego z nierówności toru i podatności podtorza, występuje sprzężenie zwrotne. Transmitancję elementu występującego w pętli sprzężenia zwrotnego określono jako stosunek transformaty wyjścia w postaci przemieszczenia do transformaty wejścia w postaci siły. Schemat układu z pętlą sprzężenia zwrotnego przy wariantach regulatora w postaci:

- elementu sprężystego o transmitancji:

$$H_R^k(s) = \frac{1}{k_R} \quad (12)$$



\*warianty:  $H_R(s)$ ,  $H_R^k(s)$ ,  $H_R^c(s)$

Rys. 2. Schemat struktury układu z założonym sprzężeniem zwrotnym

- elementu tłumieniowego o transmitancji:

$$H_R^c(s) = \frac{1}{c_R s} \quad (13)$$

- elementu sprężysto-tłumieniowego o transmitancji:

$$H_R(s) = \frac{1}{k_R + c_R s} \quad (14)$$

przedstawiono w zapisie operatorowym na rys. 2.

Transmitancję zastępczą  $H_z^k(s)$  dla wariantu układu z regulatorem  $H_R^k(s)$  wyznaczono w postaci:

$$H_z^k(s) = \frac{-k_R m c s^3 - k_R m k s^2}{-m c s^3 + (k_R m - m k) s^2 + k_R c s + k_R k} \quad (15)$$

Transmitancję zastępczą  $H_z^c(s)$  dla wariantu układu z regulatorem  $H_R^c(s)$  wyznaczono w postaci:

$$H_z^c(s) = \frac{-m c_R c s^3 - m k c_R s^2}{(c_R m - m c) s^2 + (c_R c - m k) s + c_R k} \quad (16)$$

Transmitancję zastępczą  $H_z(s)$  dla wariantu układu z regulatorem  $H_R(s)$  wyznaczono w postaci:

$$H_z(s) = \frac{-m c_R c s^4 - (m k c_R + m k c) s^3 - m k k_R s^2}{(c_R m - m c) s^3 + (k_R m + c_R c - m k) s^2 + (k_R c + c_R k) s + k k_R} \quad (17)$$

W celu zbadania wpływu zależności między charakterystykami modelu pojazdu a charakterystykami modelu podtorza na charakterystyki własne układu, wprowadzono bezwymiarowy współczynnik  $V$  dla charakterystyk sztywnościowych:

$$V_i = \frac{k_{Ri}}{k} \quad (18)$$

oraz bezwymiarowy współczynnik  $W$  dla charakterystyk tłumieniowych:

$$W_j = \frac{c_{Rj}}{c} \quad (19)$$

Transmitancję zastępczą (17) po wprowadzeniu współczynnika  $V$  zapisano wzorem:

$$H_z^V = \frac{-\frac{m c_R c}{k^2} s^4 - \left(\frac{m c_R}{k} + \frac{m c}{k} V\right) s^3 - m V s^2}{\left(\frac{c_R m}{k^2} - \frac{m c}{k^2}\right) s^3 + \left(V \frac{m}{k} + \frac{c_R c}{k^2} - \frac{m}{k}\right) s^2 + \left(V \frac{c}{k} + \frac{c_R}{k}\right) s + V} \quad (20)$$

Transmitancję zastępczą (17) po wprowadzeniu współczynnika  $W$  zapisano wzorem:

$$H_z^W = \frac{-m W s^4 - \left(\frac{m k}{c} W + \frac{m k_R}{c}\right) s^3 - \frac{m k k_R}{c^2} s^2}{\left(\frac{m}{c} W - \frac{m}{c}\right) s^3 + \left(\frac{k_R m}{c^2} + W - \frac{m k}{c^2}\right) s^2 + \left(\frac{k_R}{c} + \frac{k}{c} W\right) s + \frac{k k_R}{c^2}} \quad (21)$$

Analizę numeryczną przeprowadzono dla przyjętych danych charakteryzujących model pojazdu:

$m = 2200$  [kg]  
 $k = 920$  [kN/m]  
 $c = 27$  [kN·s/m]

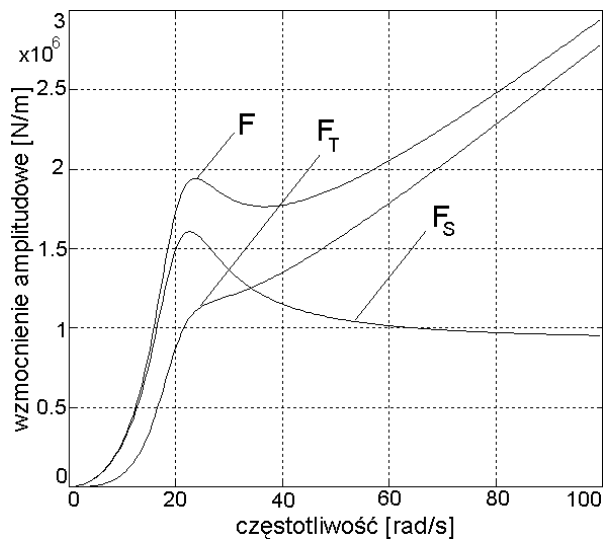
Wartości własne modelu pojazdu wyznaczone znajdując pierwiastki mianownika transmitancji (11):

$$\lambda_{1,2} = -6,1364 \pm j19,5071$$

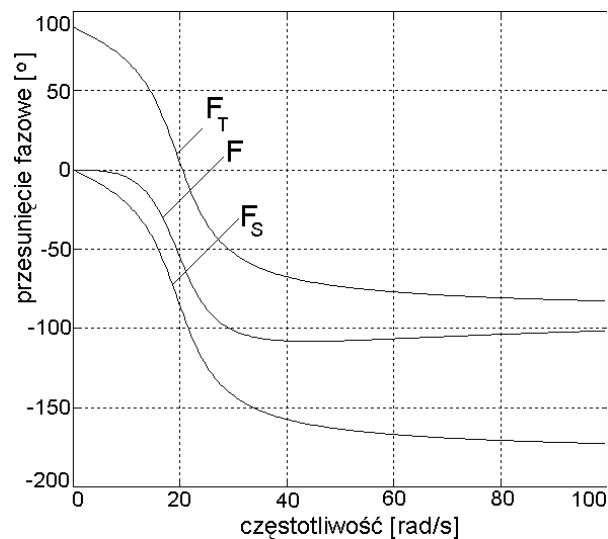
Pierwiastkom tym odpowiada częstotliwość tłumionych drgań własnych:

$$\omega_d = 20,45$$
 [rad/s]

Dla przyjętego modelu przeprowadzono badania w dziedzinie częstotliwości. Wyznaczone charakterystyki amplitudowo-częstotliwościowe odpowiadające transmitancji wyrażonej wzorami (9), (10) i (11) pokazano na rys. 3, a charakterystyki fazowo-częstotliwościowe na rys. 4.



Rys. 3. Charakterystyki amplitudowo-częstotliwościowe dla modelu pojazdu



Rys. 4. Charakterystyki fazowo-częstotliwościowe dla modelu pojazdu

Do analizy badanego układu przyjęto następujące wartości stałych  $k_{R_s}$ :

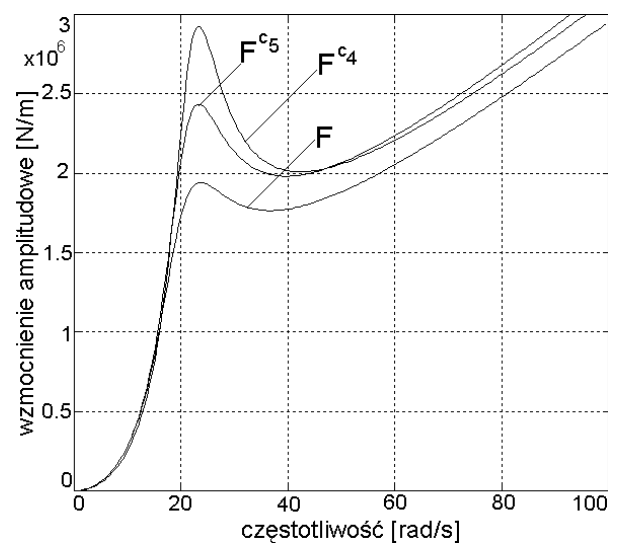
$$\begin{aligned}
 k_1 &= 1,0 \cdot 10^7 \text{ [N/m]}, & c_1 &= 0,5 \cdot 10^5 \text{ [N·s/m]}, \\
 k_2 &= 0,5 \cdot 10^8 \text{ [N/m]}, & c_2 &= 1,0 \cdot 10^5 \text{ [N·s/m]}, \\
 k_3 &= 1,0 \cdot 10^8 \text{ [N/m]}, & c_3 &= 1,5 \cdot 10^5 \text{ [N·s/m]}, \\
 k_4 &= 2,0 \cdot 10^8 \text{ [N/m]}, & c_4 &= 2,0 \cdot 10^5 \text{ [N·s/m]}, \\
 & & c_5 &= 4,0 \cdot 10^5 \text{ [N·s/m]}.
 \end{aligned}$$

oraz wartości stałych  $c_{R_d}$ :

Transmitancja operatorowa  $H_z^k(s)$  modelu (15) świadczy o niestabilności układu (bieguny transmitancji leżą w dodatniej półpłaszczyźnie zespolonej).

Jest to istotne stwierdzenie świadczące o tym, że w modelu podtorza oprócz elementu sprężystego konieczne jest przyjęcie elementu tłumieniowego.

Dla przyjętych stałych  $c_R$  przeprowadzono analizę częstotliwościową modelu układu (16). Stwierdzono, że przyjęty model regulatora w postaci (13) nie umożliwia uzyskania charakterystyk własnych układu ze sprzężeniem zwrotnym o wartościach bliskich wartościom własnym modelu pojazdu. Zatem nie spełnia on przyjętego założenia, aby wartości własne modelu układu ze sprzężeniem zwrotnym były w przybliżeniu równe wartościom własnym modelu pojazdu. Przykładowe przebiegi charakterystyki amplitudowo-częstotliwościowej dla modelu (16) przedstawiono na rys. 5.



Rys. 5. Charakterystyki amplitudowo-częstotliwościowe dla modelu ze sprzężeniem zwrotnym opisanego transmitancją  $H_z^c(s)$  dla wybranych wariantów

Do dalszych badań przyjęto model podtorza jako układ o charakterystykach sprężystych i tłumieniowych. Badania przeprowadzono dla modelu o transmitancji  $H_z(s)$  (17).

Dla współczynnika  $V_p$  przyjęto wartości:

$$\begin{aligned}
 V_1 &= 1, \\
 V_2 &= 5, \\
 V_3 &= 10, \\
 V_4 &= 100,
 \end{aligned}$$

a dla współczynnika  $W_r$  przyjęto wartości:

$$\begin{aligned}
 W_1 &= 1, \\
 W_2 &= 5, \\
 W_3 &= 10, \\
 W_4 &= 50.
 \end{aligned}$$

Bieguny transmitancji (20) dla wybranych wartości współczynnika  $V$  zebrano w tabeli 1.

**Bieguny transmitancji  $H_z^V(s)$  dla wybranych wartości współczynnika  $V$**  Tabela 1

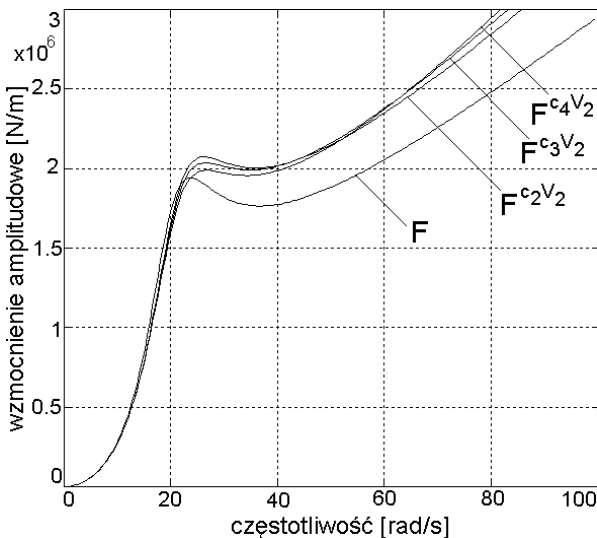
Wariant $V_p c_q$	Bieguny transmitancji		
	$\lambda_1$	$\lambda_2$	$\lambda_3$
$V_2 c_3$	-68,06	-7,11 $+j20,2$	-7,11 $-j20,2$
$V_3 c_3$	-368,8	-6,34 $+j19,59$	-6,34 $-j19,59$
$V_4 c_3$	-742,9	-6,24 $+j19,55$	-6,24 $-j19,55$
$V_2 c_4$	-48,04	-7,01 $+j20,34$	-7,01 $-j20,34$
$V_3 c_4$	-262,09	-6,34 $+j19,6$	-6,34 $-j19,6$
$V_4 c_4$	-528,19	-6,24 $+j19,55$	-6,24 $-j19,55$

Bieguny transmitancji (21) dla wybranych wartości współczynnika  $W$  zebrano w tabeli 2.

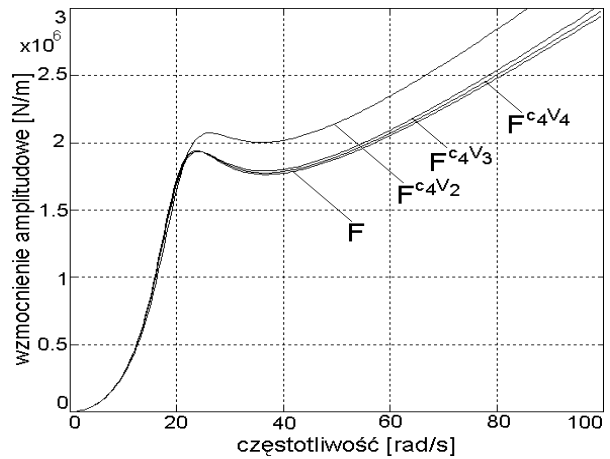
**Bieguny transmitancji  $H_z^W(s)$  dla wybranych wartości współczynnika  $W$**  Tabela 2

Wariant $W_r k_s$	Bieguny transmitancji		
	$\lambda_1$	$\lambda_2$	$\lambda_3$
$W_2 k_2$	-457,14	-6,32 $+j19,58$	-6,32 $-j19,58$
$W_3 k_2$	-202,97	-6,32 $+j19,6$	-6,32 $-j19,6$
$W_4 k_2$	-37,1	-6,26 $+j19,6$	-6,26 $-j19,6$
$W_2 k_3$	-920,29	-6,23 $+j19,54$	-6,23 $-j19,54$
$W_3 k_3$	-408,91	-6,23 $+j19,55$	-6,23 $-j19,55$
$W_4 k_3$	-74,97	-6,22 $+j19,57$	-6,22 $-j19,57$

Przebiegi przykładowych charakterystyk amplitudowo-częstotliwościowych dla modelu (20) przedstawiono na rys. 6 oraz rys. 7.

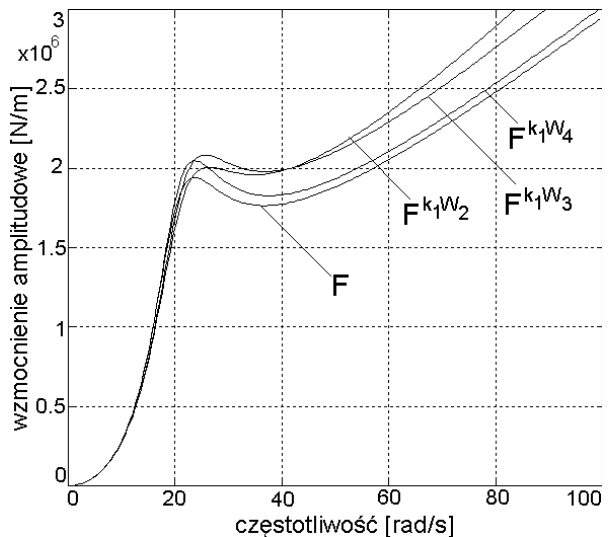


Rys. 6. Charakterystyki amplitudowo-częstotliwościowe dla modelu ze sprzężeniem zwrotnym opisanego transmitancją  $H_z^V(s)$  dla wybranych wariantów

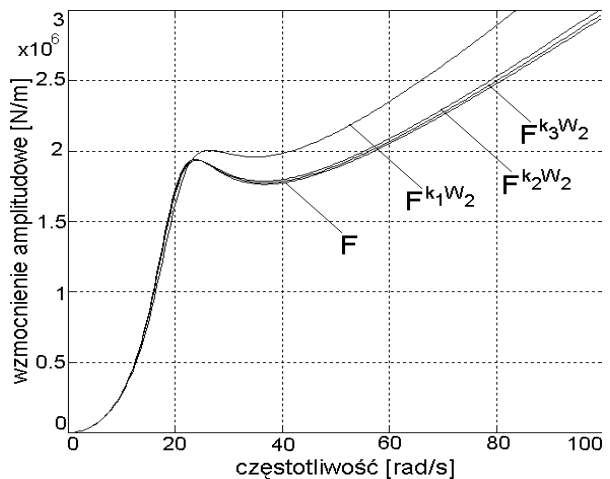


Rys. 7. Charakterystyki amplitudowo-częstotliwościowe dla modelu ze sprzężeniem zwrotnym opisanego transmitancją  $H_z^V(s)$  dla wybranych wariantów

Przebiegi przykładowych charakterystyk amplitudowo-częstotliwościowych dla modelu (21) przedstawiono na rys. 8 oraz rys. 9.



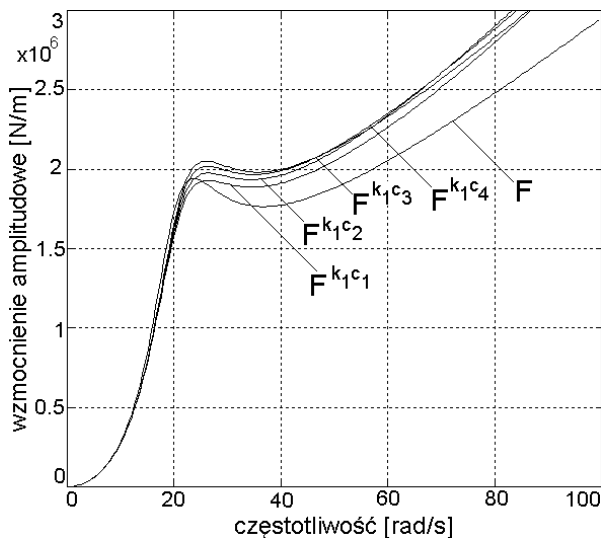
Rys. 8. Charakterystyki amplitudowo-częstotliwościowe dla modelu ze sprzężeniem zwrotnym opisanego transmitancją  $H_z^W(s)$  dla wybranych wariantów



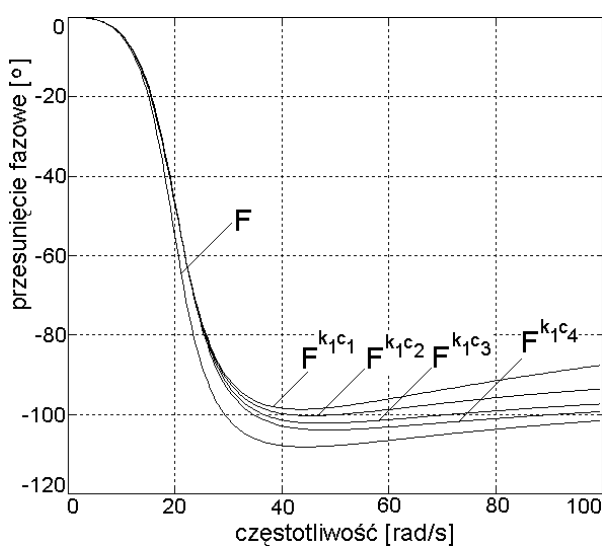
Rys. 9. Charakterystyki amplitudowo-częstotliwościowe dla modelu ze sprzężeniem zwrotnym opisanego transmitancją  $H_z^W(s)$  dla wybranych wariantów

Na podstawie przeprowadzonej analizy wyznaczonych charakterystyk częstotliwościowych wybrano te wartości współczynników  $k_R$  oraz  $c_R$  charakteryzujących transmitancję układu ze sprzężeniem zwrotnym  $H_z(s)$  (17), dla których spełniony jest warunek podobieństwa charakterystyk własnych modelu układu ze sprzężeniem zwrotnym i modelu pojazdu.

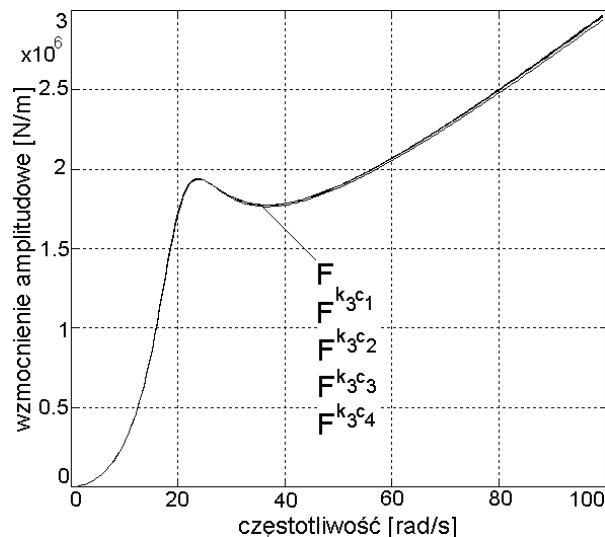
Przebiegi przykładowych charakterystyk amplitudowo-częstotliwościowych dla modelu (17) dla wybranych wartości współczynników  $k_R$  oraz  $c_R$  przedstawiono na rys. 10 oraz rys. 12, a odpowiadające im charakterystyki fazowo-częstotliwościowe odpowiednio na rys. 11 oraz rys. 13.



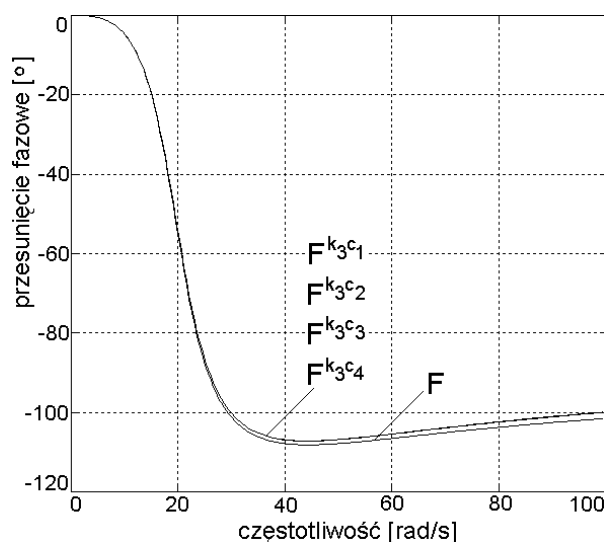
Rys. 10. Charakterystyki amplitudowo-częstotliwościowe dla modelu ze sprzężeniem zwrotnym opisanego transmitancją  $H_z(s)$  dla wybranych wariantów



Rys. 11. Charakterystyki fazowo-częstotliwościowe dla modelu ze sprzężeniem zwrotnym opisanego transmitancją  $H_z(s)$  dla wybranych wariantów



Rys. 12. Charakterystyki amplitudowo-częstotliwościowe dla modelu ze sprzężeniem zwrotnym opisanego transmitancją  $H_z(s)$  dla wybranych wariantów



Rys. 13. Charakterystyki fazowo-częstotliwościowe dla modelu ze sprzężeniem zwrotnym opisanego transmitancją  $H_z(s)$  dla wybranych wariantów

Na podstawie przeprowadzonej analizy wyników stwierdzono, że spełnienie warunku nie wpływania charakterystyk podtorza na charakterystyki własne modelu pojazdu jest możliwe przy przyjęciu współczynnika  $k_R$  równego  $1,0 \cdot 10^8$  [N/m]. Stwierdzono również, że wpływ wartości współczynnika  $c_R$  jest niewielki, jeśli współczynnik  $k_R$  przyjmuje odpowiednio duże wartości.

## 2.2. Wyznaczanie parametrów modelu podtorza dla zadanych charakterystyk własnych z zastosowaniem metody przestrzeni stanu

Do badań przyjęto model układu jak opisano równaniem (4).

Przyjęto wektor stanu  $x$ , którego składowymi są siła w sprężynie  $x_1$ :

$$x_1(t) = k(q(t) - \xi(t)) \quad (22)$$

oraz siła w tłumiku  $x_2$ :

$$x_2(t) = c(\dot{q}(t) - \dot{\xi}(t)) \quad (23)$$

Odpowiednie pochodne uzyskane po przekształceniach przedstawiono zależnościami:

$$\dot{x}_1(t) = \frac{k}{c} x_2(t) \quad (24)$$

$$\dot{x}_2(t) = -\frac{c}{m} x_1(t) - \frac{c}{m} x_2(t) - c\ddot{\xi} \quad (25)$$

Macierz stanu **A** ma zatem postać:

$$\mathbf{A} = \begin{bmatrix} 0 & \frac{k}{c} \\ -\frac{c}{m} & -\frac{c}{m} \end{bmatrix} \quad (26)$$

a macierz wejść **B**:

$$\mathbf{B} = \begin{bmatrix} 0 \\ -c \end{bmatrix} \quad (27)$$

Związek między wektorem wyjścia a wektorem stanu zapisano w postaci:

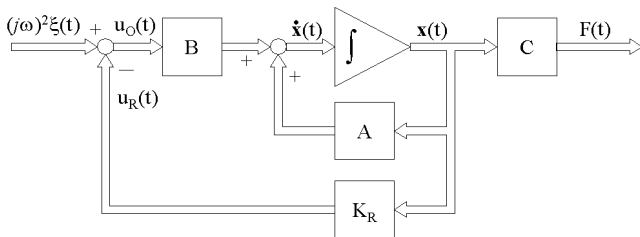
$$\mathbf{y} = \mathbf{D}\mathbf{x} \quad (28)$$

gdzie macierz **D** jest macierzą diagonalną  $\mathbf{D} = \begin{bmatrix} 1 & 0 \\ 0 & 1 \end{bmatrix}$ .

Przyjęto, że podtorze pełni funkcję regulatora  $\mathbf{K}_R$  w układzie ze sprzężeniem zwrotnym, przy czym wyjście z regulatora  $u_R(t)$  zależy liniowo od wektora stanu  $\mathbf{x}(t)$ .

$$u_R(t) = -\mathbf{K}_R \mathbf{x}(t) \quad (29)$$

Schemat struktury układu opisanego równaniami od (22) do (29) przedstawiono na rys. 14.



Rys. 14. Schemat struktury układu z regulatorem proporcjonalnym jako modelem podtorza w pętli sprzężenia zwrotnego

Do wyznaczenia wartości  $\mathbf{K}_R$  zastosowano metodę optymalizacji z kwadratowym wskaźnikiem jakości [1,3] w postaci:

$$J = \int_0^{\infty} (\mathbf{x}^T \mathbf{Q} \mathbf{x} + u_R L u_R) dt \quad (30)$$

gdzie **Q** jest rzeczywistą macierzą symetryczną, a **L** jest wielkością rzeczywistą.

W wyniku podstawienia (29) do wzoru (4) uzyskano:

$$\dot{\mathbf{x}} = (\mathbf{A} - \mathbf{B}\mathbf{K}_R)\mathbf{x} \quad (31)$$

Po podstawieniu równania (29) do (30) otrzymano zależność:

$$J = \int_0^{\infty} \mathbf{x}(\mathbf{Q} + \mathbf{K}_R^T L \mathbf{K}_R) \mathbf{x} dt \quad (32)$$

Równanie opisujące wyjścia z regulatora uzyskane metodą optymalizacji z zastosowaniem wskaźnika kwadratowego przyjmie postać:

$$u_R(t) = -L^{-1} \mathbf{B}^T \mathbf{P} \mathbf{x}(t) \quad (33)$$

gdzie macierz **P** jest rozwiązaniem zredukowanego równania Riccati'ego

$$\mathbf{A}^T \mathbf{P} + \mathbf{P} \mathbf{A} - \mathbf{P} \mathbf{B} L^{-1} \mathbf{B}^T \mathbf{P} + \mathbf{Q} = \mathbf{0} \quad (34)$$

Po przeprowadzeniu wstępnych analiz, do obliczeń przyjęto macierze  $\mathbf{Q}_v$  w postaci macierzy diagonalnych o wartościach na przekątnej równych:

$$\begin{aligned} \mathbf{Q}_1 &= \text{diag}[1, 0 \cdot 10^{-6}], & \text{oraz wartości współczynnika } L_w: \\ \mathbf{Q}_2 &= \text{diag}[1, 0 \cdot 10^{-7}], & L_1 = 1, \\ \mathbf{Q}_3 &= \text{diag}[1, 0 \cdot 10^{-8}], & L_2 = 10, \\ \mathbf{Q}_4 &= \text{diag}[1, 0 \cdot 10^{-9}], & L_3 = 100, \\ \mathbf{Q}_5 &= \text{diag}[1, 0 \cdot 10^{-10}], & L_4 = 200. \end{aligned}$$

Dla przyjętych wartości **Q** i **L** wyznaczono [5] wartości stałych regulatora  $\mathbf{K}_R$  oraz wartości własne układu ze sprzężeniem zwrotnym.

Wartości stałych regulatora  $\mathbf{K}_R$  dla wybranych wariantów wartości  $\mathbf{Q}_v$  i  $L_w$  zebrano w tabeli 3.

Wartości stałych regulatora  $\mathbf{K}_R$  Tabela 3

Wariant $\mathbf{Q}_v L_w$	Stale regulatora	
	$k_{vw1}$	$k_{vw2}$
$\mathbf{Q}_2 L_1$	-0,992e-4	-0,291e-3
$\mathbf{Q}_2 L_4$	-0,550e-6	-0,207e-5
$\mathbf{Q}_3 L_3$	-0,110e-6	-0,415e-6
$\mathbf{Q}_3 L_4$	-0,550e-7	-0,207e-6
$\mathbf{Q}_4 L_2$	-0,110e-6	-0,415e-6
$\mathbf{Q}_4 L_3$	-0,110e-7	-0,415e-7
$\mathbf{Q}_5 L_1$	-0,110e-6	-0,415e-6
$\mathbf{Q}_5 L_2$	-0,110e-7	-0,415e-7

Wartości własne układu z regulatorem w pętli sprzężenia zwrotnego Tabela 4

Wariant $\mathbf{Q}_v L_w$	Biegunki transmitancji	
	$\lambda_1$	$\lambda_2$
$\mathbf{Q}_2 L_1$	-10,075 +j20,197	-10,075 -j20,197
$\mathbf{Q}_2 L_4$	-6,164 +j19,507	-6,164 -j19,507
$\mathbf{Q}_3 L_3$	-6,142 +j19,507	-6,142 -j19,507
$\mathbf{Q}_3 L_4$	-6,139 +j19,507	-6,139 -j19,507
$\mathbf{Q}_4 L_2$	-6,142 +j19,508	-6,142 -j19,508
$\mathbf{Q}_4 L_3$	-6,137 +j19,507	-6,137 -j19,507
$\mathbf{Q}_5 L_1$	-6,142 +j19,508	-6,142 -j19,508
$\mathbf{Q}_5 L_2$	-6,137 +j19,507	-6,137 -j19,507

Wartości własne układu z regulatorem  $K_R$  w pętli sprzężenia zwrotnego dla wybranych wariantów  $Q_v$  i  $L_w$  zebrano w tabeli 4. Odpowiednim współczynnikiem regulatora  $K_R$  (tabela 3) przypisano fizyczną interpretację jako: współczynnik sztywności podtorza  $k_R$  i współczynnik tłumienia podtorza  $c_R$ . Wartości współczynników  $k_R$  i  $c_R$  zebrano w tabeli 5.

**Współczynniki sztywności i tłumienia podtorza odpowiadające współczynnikom regulatora  $K_R$**

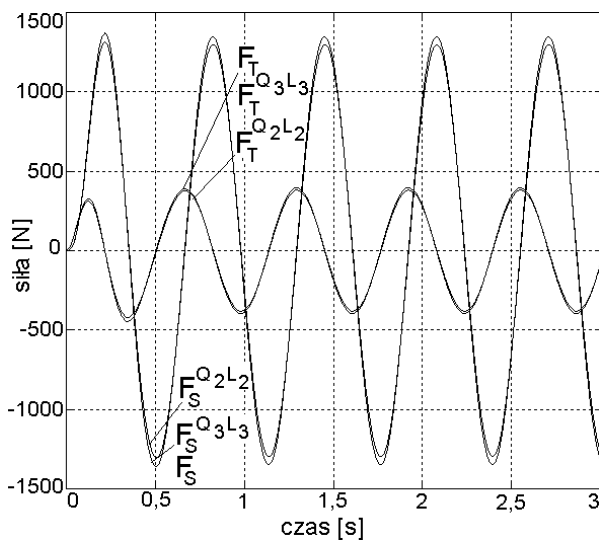
**Tabela 5**

Wariant $Q_v L_w$	Parametry podtorza	
	$k_R$ [N/m]	$c_R$ [N·s/m]
$Q_2 L_1$	1,008e4	0,342e4
$Q_2 L_4$	1,819e6	0,482e6
$Q_3 L_3$	9,092e6	2,408e6
$Q_3 L_4$	1,818e7	0,481e7
$Q_4 L_2$	9,092e6	2,408e6
$Q_4 L_3$	9,091e7	2,407e7
$Q_5 L_1$	9,092e6	2,408e6
$Q_5 L_2$	9,091e7	2,407e7

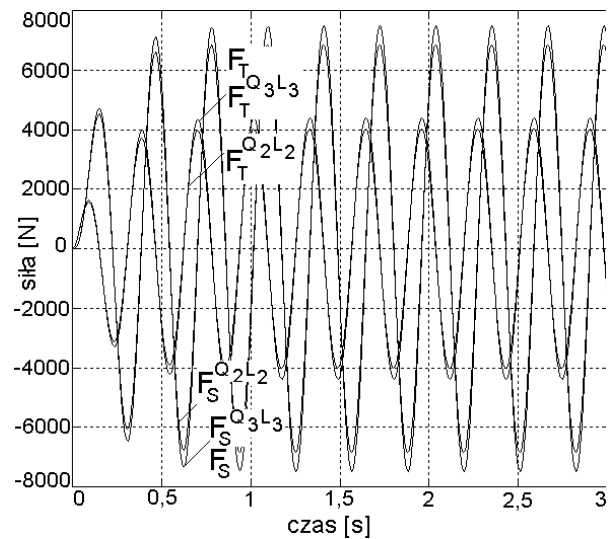
Dla wybranych wariantów macierzy  $Q$  oraz współczynnika  $L$  przeprowadzono badania symulacyjne [5], przyjmując wymuszenie w postaci nierówności toru o charakterze sinusoidalnym:

$$\xi(t) = 0,005 \sin(\omega t) \quad (35)$$

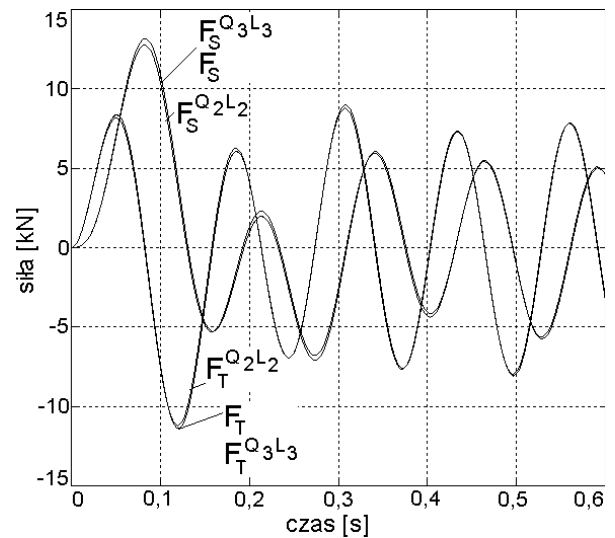
Do badań przyjęto wymuszenia o częstotliwości  $\omega_1 = 10$  [rad/s],  $\omega_2 = 20$  [rad/s],  $\omega_3 = 50$  [rad/s],  $\omega_4 = 100$  [rad/s]. Przebiegi siły w sprężynie zawieszenia  $F_S(t)$  i siły w tłumiku zawieszenia  $F_T(t)$  dla wybranych wariantów  $Q$  i  $L$  przy wymuszeniu o częstotliwości 10 rad/s przedstawiono na rys. 15, o częstotliwości 20 rad/s na rys. 16, o częstotliwości 50 rad/s na rys. 17, a o częstotliwości 100 rad/s na rys. 18.



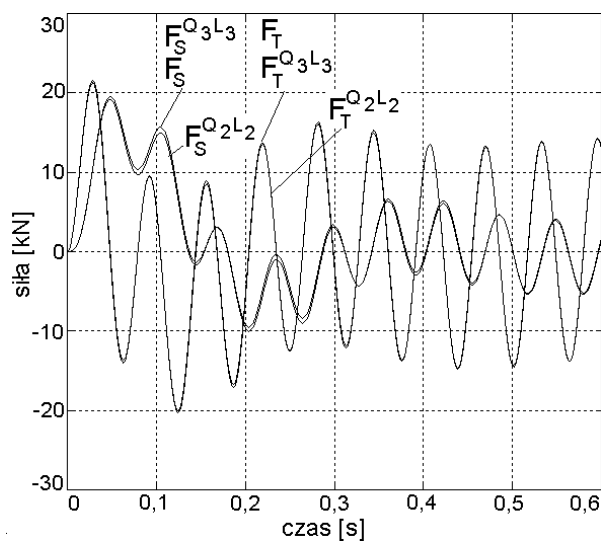
Rys. 15. Przebiegi siły w sprężynie zawieszenia ( $F_S$ ) oraz siły w tłumiku zawieszenia ( $F_T$ ) dla wymuszenia o częstotliwości 10 rad/s dla wybranych wariantów



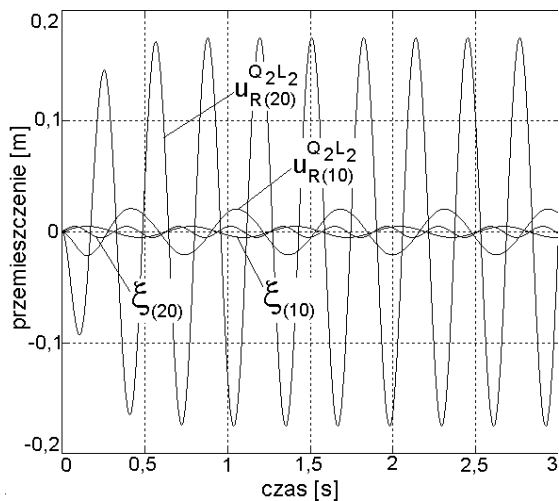
Rys. 16. Przebiegi siły w sprężynie zawieszenia ( $F_S$ ) oraz siły w tłumiku zawieszenia ( $F_T$ ) dla wymuszenia o częstotliwości 20 rad/s dla wybranych wariantów



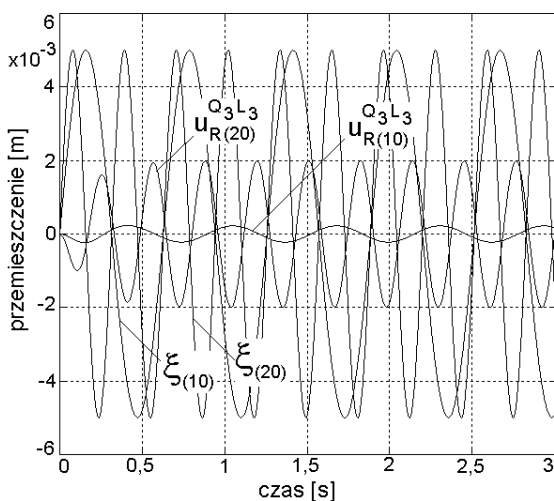
Rys. 17. Przebiegi siły w sprężynie zawieszenia ( $F_S$ ) oraz siły w tłumiku zawieszenia ( $F_T$ ) dla wymuszenia o częstotliwości 50 rad/s dla wybranych wariantów



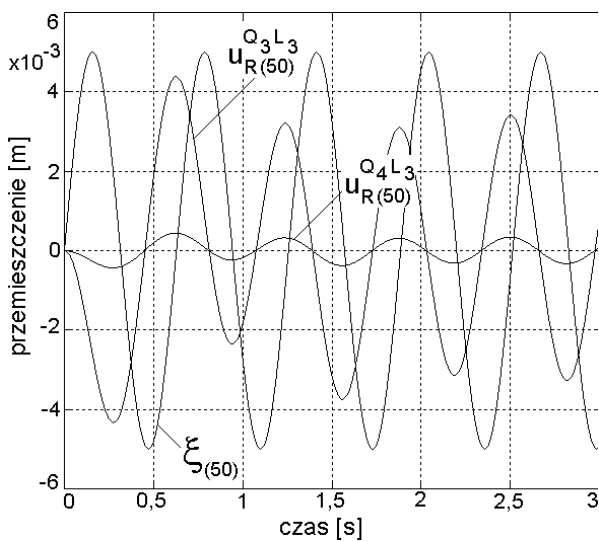
Rys. 18. Przebiegi siły w sprężynie zawieszenia ( $F_S$ ) oraz siły w tłumiku zawieszenia ( $F_T$ ) dla wymuszenia o częstotliwości 100 rad/s dla wybranych wariantów



Rys. 19. Przebiegi wymuszenia  $\xi(t)$  oraz przemieszczeń  $u_R(t)$  przy wymuszeniu o częstotliwości 10 rad/s oraz 20 rad/s dla wybranych wariantów

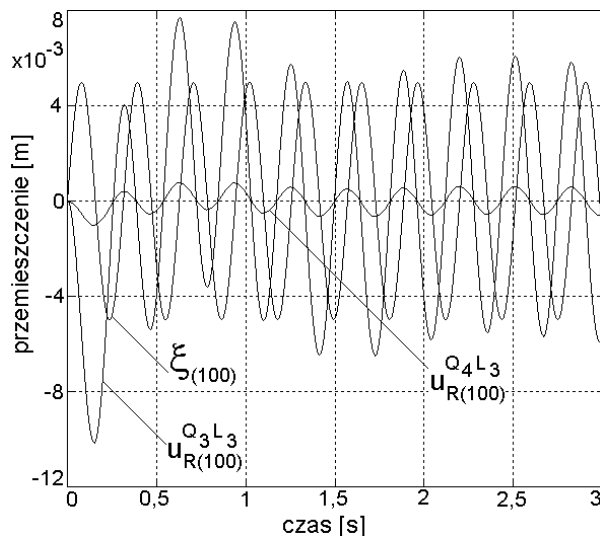


Rys. 20. Przebiegi wymuszenia  $\xi(t)$  oraz przemieszczeń  $u_R(t)$  przy wymuszeniu o częstotliwości 10 rad/s oraz 20 rad/s dla wybranych wariantów



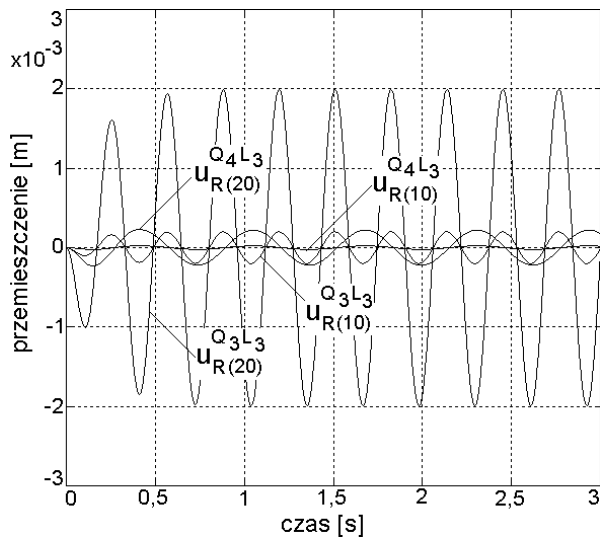
Rys. 21. Przebiegi wymuszenia  $\xi(t)$  oraz przemieszczeń  $u_R(t)$  przy wymuszeniu o częstotliwości 50 rad/s dla wybranych wariantów

Przebiegi wymuszenia  $\xi(t)$  oraz przemieszczeń  $u_R(t)$ , stanowiących wyjście z regulatora, dla wybranych wariantów  $\mathbf{Q}$  i  $L$  przy wymuszeniu o częstotliwości 10 rad/s oraz 20 rad/s przedstawiono na rys. 19 i rys. 20, o częstotliwości 50 rad/s na rys. 21, a o częstotliwości 100 rad/s na rys. 22.



Rys. 22. Przebiegi wymuszenia  $\xi(t)$  oraz przemieszczeń  $u_R(t)$  przy wymuszeniu o częstotliwości 100 rad/s dla wybranych wariantów

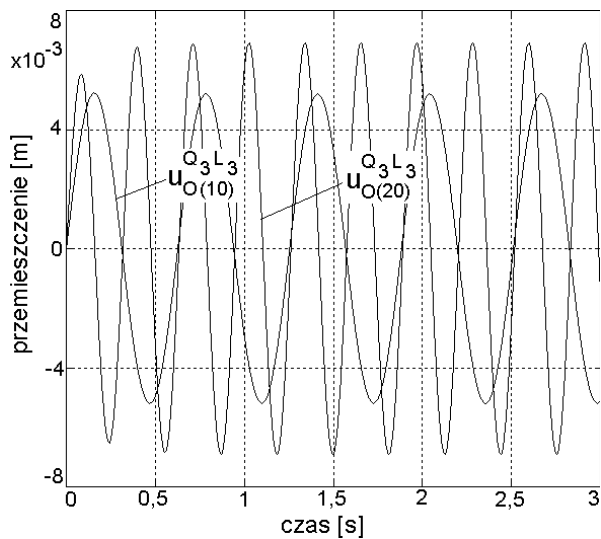
Przebiegi wyjścia z regulatora  $u_R(t)$ , przy wymuszeniu o częstotliwościach 10 rad/s oraz 20 rad/s, uzyskane dla wybranych wartości macierzy  $\mathbf{Q}$  i współczynnika  $L$  przedstawiono na rys. 23.



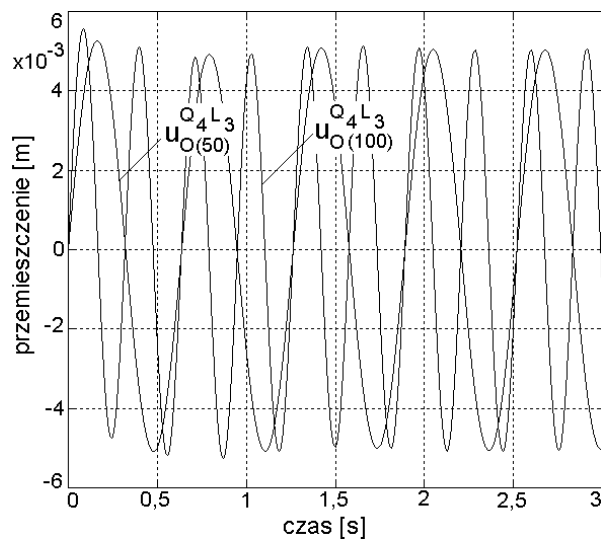
Rys. 23. Przebiegi przemieszczenia  $u_R(t)$  przy wymuszeniu o częstotliwościach 10 rad/s oraz 20 rad/s dla wybranych wariantów

Wyznaczone wartości współczynników regulatora determinują zmianę funkcji wymuszającej badany układ. Przebiegi wejścia  $u_o(t)$  do układu (rys. 14), jako wynik sumowania przemieszczenia wynikającego z nierówności toru  $\xi(t)$  oraz przemieszczenia  $u_R(t)$  wywołanego działaniem sił w zawieszeniu pojazdu  $F(t)$  działających w układzie ze sprzężeniem zwrotnym, dla wybranych wariantów wymuszeń o częstotliwości 10 rad/s oraz 20 rad/s przedstawiono na rys. 24, a o częstotliwości 50 rad/s oraz 100 rad/s na rys. 25 i rys. 26.

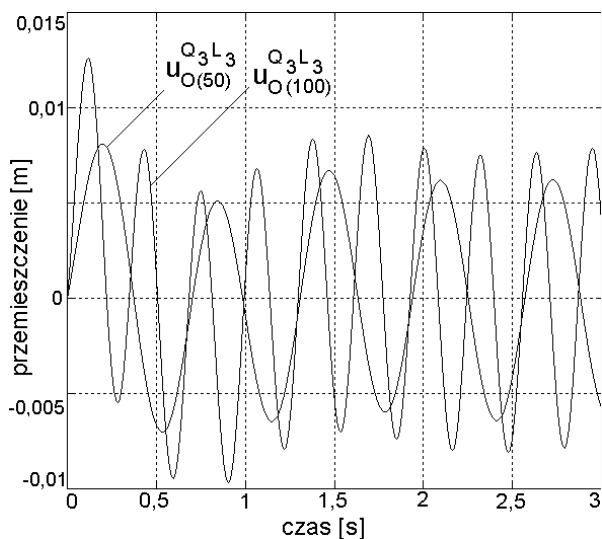




Rys. 24. Przebiegi wejścia  $u_O(t)$  do układu dla wymuszeń o częstotliwości 10 rad/s oraz częstotliwości 20 rad/s dla wybranych wariantów



Rys. 25. Przebiegi wejścia  $u_O(t)$  do układu dla wymuszeń o częstotliwości 50 rad/s oraz częstotliwości 100 rad/s dla wybranych wariantów



Rys. 26. Przebiegi wejścia  $u_O(t)$  do układu dla wymuszeń o częstotliwości 50 rad/s oraz częstotliwości 100 rad/s dla wybranych wariantów

Na podstawie przeprowadzonej analizy wyników stwierdzono, że spełnienie warunku niewielkiego wpływu charakterystyk podtorza na charakterystyki własne modelu pojazdu jest możliwe przy przyjęciu do badań macierzy  $Q_4$  oraz współczynnika  $L_3$ . Dla tego wariantu wyznaczony współczynnik sztywności podtorza  $k_R$  przyjmuje wartość  $9,09 \cdot 10^7$  [N/m].

### 3. Podsumowanie

Celem artykułu było wyznaczenie sztywnościowych i tłumieniowych charakterystyk modelu podtorza przy założeniu, że w układzie występuje sprzężenie zwrotne. Do opisu dynamiki układu zastosowano formalizm transmitancji operatorowej oraz metodę przestrzeni stanu. Do wyznaczania parametrów modelu podtorza, przy przyjęciu podtorza w postaci regulatora proporcjonalnego, zastosowano optymalizację z kwadratowym wskaźnikiem jakości. Badania przeprowadzono w dziedzinie czasu i częstotliwości w zakresie częstotliwości  $0 \div 30$  Hz. Jako kryterium przy wyznaczaniu parametrów modelu podtorza przyjęto założenie, że wartości własne układu ze sprzężeniem zwrotnym powinny być w przybliżeniu równe wartościom własnym modelu pojazdu. Wartości współczynnika sztywności i współczynnika tłumienności podtorza uzyskane w wyniku przeprowadzonej analizy numerycznej odpowiadają wartościom prezentowanym w literaturze fachowej. Wykonana analiza świadczy o celowości dalszego rozwijania zaproponowanej metody wyznaczania parametrów modelu podtorza w aspekcie jej wykorzystania w procesie projektowania pojazdów oraz przy prowadzeniu badań eksperymentalnych toru. Prowadzone są dalsze badania dla przestrzennego modelu pojazdu i toru.

### Literatura

- [1] Kaczorek T., *Teoria sterowania i systemów*, PWN, Warszawa 1993
- [2] Knothe K., Wu Y., Gross-Thebing A., *Simple semi-analytical models for discrete-continuous railway track and their use for time domain solutions*, Supplement to *Vehicle System Dynamics*, Band 24, Swets & Zeitlinger, 1995
- [3] Ogata K., *Modern Control Engineering*, Prentice-Hall Inc., 1997
- [4] *Dynamika układu mechanicznego pojazd szynowy-tor*, praca zbiorowa, PWN, Warszawa 1991
- [5] MATLAB wersja 5